

**МОДУЛЮЮЧИЙ ВПЛИВ АДЕНОЗИНОВИХ Р1 ПУРИНОРЕЦЕПТОРІВ
НА КАЛЬЦІЕВУ СИГНАЛІЗАЦІЮ, ВИКЛИКАНУ АКТИВАЦІЄЮ
ХОЛІНОРЕЦЕПТОРІВ В АЦИНАРНИХ КЛІТИНАХ
ПІДЩЕЛЕПНОЇ СЛИННОЇ ЗАЛОЗИ**

Н.В. Федірко¹, О.В. Копач¹, Н.В. Войтенко², П.Г. Костюк²

¹Львівський Національний університет імені Івана Франка, вул. Грушевського, 4, м. Львів

²Інститут фізіології імені О.Богомольця, НАН України, вул. Богомольця, 4, м. Київ

e-mail: n_fedirko@franko.lviv.ua

Надійшла в редакцію 5 жовтня 2005 р.

Встановлено роль аденоzinovих receptorів у функціонуванні ацинарних клітин слинних залоз залишається неясною. З використанням флуоресцентного Ca^{2+} -чутливого барвника фура-2/AM проведено вимірювання концентрації іонізованого кальцію у цитоплазмі ($[\text{Ca}^{2+}]_i$) ацинарних клітин підщелепної слинної залоз щурів при активації аденоzinovих receptorів. Показано відсутність прямого ефекту аденоzinу на $[\text{Ca}^{2+}]_i$, та його здатність потенціювати підвищення $[\text{Ca}^{2+}]_i$, викликане активацією холінорецепторів ацетилхоліном та фосфорилазами. При цьому стимулюючий ефект аденоzinу на амплітуду $[\text{Ca}^{2+}]_i$ -транзієнтів проявляється лише при концентраціях у концентраціях нижчих за субмаксимальну. Одержані нами результати свідчать про те, що в ацинарних клітинах підщелепної слинної залоз функціонують Р1 пуринорецептори, активація яких прямо не викликає перебіг кальцієвої сигнальзації, проте призводить до модуляції фосфоліпаза С – InsP_3 сигнального каскаду при активації холінорецепторів. Останнє, на нашу думку, може бути викликане фосфорилюванням InsP_3 -receptorів на мембрани сидоплазматичного ретикулуму цАМФ-залежними протеїнкіназами.

КЛЮЧОВІ СЛОВА: кальцієва сигнальзація, Ca^{2+} , холінорецептори, Р1 пуринорецептори, аденоzin, форсколін,

Застосування пуринів (аденоzin, АТФ та АДФ) є важливими сигнальними молекулами, які шляхом взаємодії з присутніми на мембрани receptorами плазматичної мембрани здатні модулювати чисельні клітинні процеси. Встановлено два типи пуринових receptorів: Р1 receptorи, агоністом яких є аденоzin, та Р2 receptorи, які активуються, в основному, зовнішньоклітинним АТФ. Показано [8, 14], що активація Р2 receptorів у клітинах підщелепної слинної залоз призводить до підвищення концентрації іонізованого Ca^{2+} ($[\text{Ca}^{2+}]_i$), що, найбільш ймовірно, опосередковує модулюючий ефект зовнішньоклітинного АТФ на ацинарних клітинах.

Застосування декількох підтипов Р1 receptorів (A2, AB та A3), кожен з яких клоновано та фармакологічно і біохімічно [2]. Сигнальний механізм Р1 receptorів опосередковується G_q-білків, що призводить в основному до інгібування аденолаткази (АЦ), проте βγ-субодини G_q-білка спряжена з активацією фосфоліпази С-β, що призводить до відкривання K^+ -каналів та Ca^{2+} -каналів. Встановлено [2], що стимуляція A2A та A2B receptorів, спряжених з G_q-білками, призводить до активації АЦ, підвищення рівня цАМФ та активації протеїнкінази А (РКА). За даними деяких авторів [3] сигнальний механізм A2B receptorів може включати, зокрема, й активацію G_q-білків і, як показано, опосередковуватись іншим шляхом, а саме, ініціюванням вивільнення Ca^{2+} з депо в епітеліальному ретикулуму (ЕР). Ймовірно, що у деяких типах епітеліальних клітин цАМФ може викликати Ca^{2+} шляхом активації фосфоліпази С-ε за участю цАМФ-активованого обмінного білка – Gα_i-білка [5]. У той же час, сигнальний механізм A3 receptorів опосередковується G₁₀-білком, активація яких призводить, в основному, до пригнічення АЦ, але у деяких випадках може супроводжуватись також активацією ФЛС та генерацією $[\text{Ca}^{2+}]_i$ -сигналів [2, 10].

Показано [4, 12, 13], що активація Р1 receptorів відіграє важливу фізіологічну роль у регуляції іонного транспорту через мембрани епітеліальних клітин нирок та дихального епітелію. Зокрема, виявлено наявність фосфорилювання контролю за секрецією Cl^- через цАМФ-залежний SFTR Cl^- канал та за Ca^{2+} -залежними каналами, активованими через G_q/фосфоліпаза С-β сигнальний шлях. Проте до сьогодні залишаються неясніми залежності залежності зовнішньоклітинні сигнальні механізми, які опосередковують активацію Р1/аденоzinovих receptorів в ацинарних клітинах слинних залоз та їх фізіологічна роль у регуляції слизовиділення.

МАТЕРІАЛИ І МЕТОДИ

Ізолявання ацинарних клітин підщелепної слинної залози. Експерименти проводили на ізольованих ацинарних клітинах підщелепної слинної залози самців шурів лінії Wistar у віці 1,5 міс. Клітини ізолявали з тканини залози після її ферментативної обробки у базовому зовнішньоклітинному розчині, який містив колагеназу (тип I, 320 mU/mg) за методикою, описаною раніше [15]. Базовий зовнішньоклітинний розчин містив (у мкмоль/л): NaCl – 140, KCl – 4,7, CaCl₂ – 1,3, MgCl₂ – 1,0, гідроксигіліпіперазин-N-2-етансульфонову кислоту (HEPES) – 10, глукозу – 10, pH = 7,4.

Вимірювання концентрації іонізованого кальцію у цитоплазмі клітин ($[Ca^{2+}]_i$). Для завантаження ацинарних клітин флуоресцентним Ca²⁺-барвником клітини інкубували у базовому зовнішньоклітинному розчині з мембрально-проникною формою фура-2 (фура-2/AM, 5 мкмоль/л) за наявності дегтергенту пліоронік F-127 (0,02 %) протягом 30 хв при 33°C. Після цього суспензію клітин відмивали базовим розчином і додатково інкубували протягом 30 хв для повної дистерифікації фура-2/AM. Зафарбовані фура-2/AM ізольовані ацинарні клітини поміщали на скельця, попередньо оброблені полі-L-лізином, які поміщали в перфузовану експериментальну камеру, змонтовану на мікроскопі (Axiolab, Zeiss, Oberkochen, Germany). Клітини спостерігали за допомогою довгофокусного, водо-імерсійного об'єктива (63x, Ч.А. 0,9). Для збудження флуоресценції зафарбовані фура-2/AM клітини почергово освітлювали світлом довжиною хвиль 360±5 та 390±5 нм. Флуоресцентний сигнал реєстрували на довжині хвилі 510±10 нм. Сигнали, які відповідають двом довжинам хвиль збудження, зберігали за допомогою IBM-сумісного комп'ютера з програмно-апаратним комплексом Tida (Batelle, Germany). Концентрацію вільного кальцію у цитоплазмі ацинарних клітин розраховували за формулою Грінкевича [9].

Статистичний аналіз. Результати досліджень піддавали варіаційно-статистичній обробці за Стюдентом з використанням програмного пакету Microsoft Excel, вибірку даних з критерієм $p < 0,05$ приймали за статистично достовірні.

РЕЗУЛЬТАТИ ДОСЛІДЖЕНЬ ТА ЇХ ОБГОВОРЕННЯ

Для активації P1 пуринорецепторів ми використовували специфічний агоніст даного типу рецепторів – аденоzin у концентрації 1 мкмоль/л. З'ясувалось, що короткочасна (10 с) аплікація до ацинарних клітин аденоzinу (1 мкмоль/л) не супроводжувалася генерацією $[Ca^{2+}]_i$ -транзистів, а також достовірними змінами базального рівня $[Ca^{2+}]_i$ ($n = 5$). На основі цього ми припустили, що в ацинарних клітинах підщелепної слинної залози відсутній прямий вплив активації P1 рецепторів плазматичної мембрани на процеси внутрішньоклітинної кальцієвої сигналізації.

Згідно даних літератури [14] сигнальні функції деяких речовин можна виявити шляхом одночасної активації кількох рецепторних груп плазматичної мембрани. Враховуючи це, ми припустили можливий синергізм аденоzinових рецепторів з іншими рецепторними структурами у досліджуваному нами типі клітин. Раніше було показано [1, 6], що основну фізіологічну роль у здійсненні кальцій-залежної регуляції функціонування ацинарних клітин відіграють холінорецептори, тому у наступній групі експериментів ми вивчали ефект сумісної дії аденоzinу та потужного агоніста холінорецепторів – ацетилхоліну (AX) у різних концентраціях.

Нами встановлено, що аденоzin ефективно потенціював здатність AX (у не насичуючих концентраціях) викликати підвищення $[Ca^{2+}]_i$. Зокрема, внаслідок прикладання до ацинарних клітин AX (200 мкмоль/л) спостерігалася генерація $[Ca^{2+}]_i$ -транзисту з амплітудою в середньому 67 ± 5 нмоль/л, тоді як при сумісній дії AX та аденоzinу (1 мкмоль/л) амплітуда такого $[Ca^{2+}]_i$ -транзисту становила в середньому 95 ± 9 нмоль/л, що було на 43 ± 12 % ($n = 6$, $p < 0,05$) вище, порівняно з ефектом лише AX (рис. 1A,Б). Внаслідок аплікації до ацинарних клітин AX у концентрації 500 нмоль/л разом з аденоzinом (1 мкмоль/л) зростання амплітуди AX-індукованого $[Ca^{2+}]_i$ -транзисту становило в середньому 58 ± 7 % ($n = 9$, $p < 0,005$). При цьому амплітуда $[Ca^{2+}]_i$ -відповіді, викликаної тільки AX, становила 91 ± 15 нмоль/л, тоді як на фоні аденоzinу зростала в середньому до 122 ± 18 нмоль/л (рис. 1A,Б). Однак, при дії AX у субмаксимальній концентрації ми виявили відсутність потенції $[Ca^{2+}]_i$ -відповіді аденоzinом. Зокрема, при одночасному прикладанні AX (5 мкмоль/л) та аденоzinу (1 мкмоль/л) не спостерігалось достовірних змін амплітуди AX-індукованого $[Ca^{2+}]_i$ -транзисту (рис. 1A).

Швидкочинний вплив аденоzinових Р1 пуринорецепторів на кальцієву сигналізацію ...

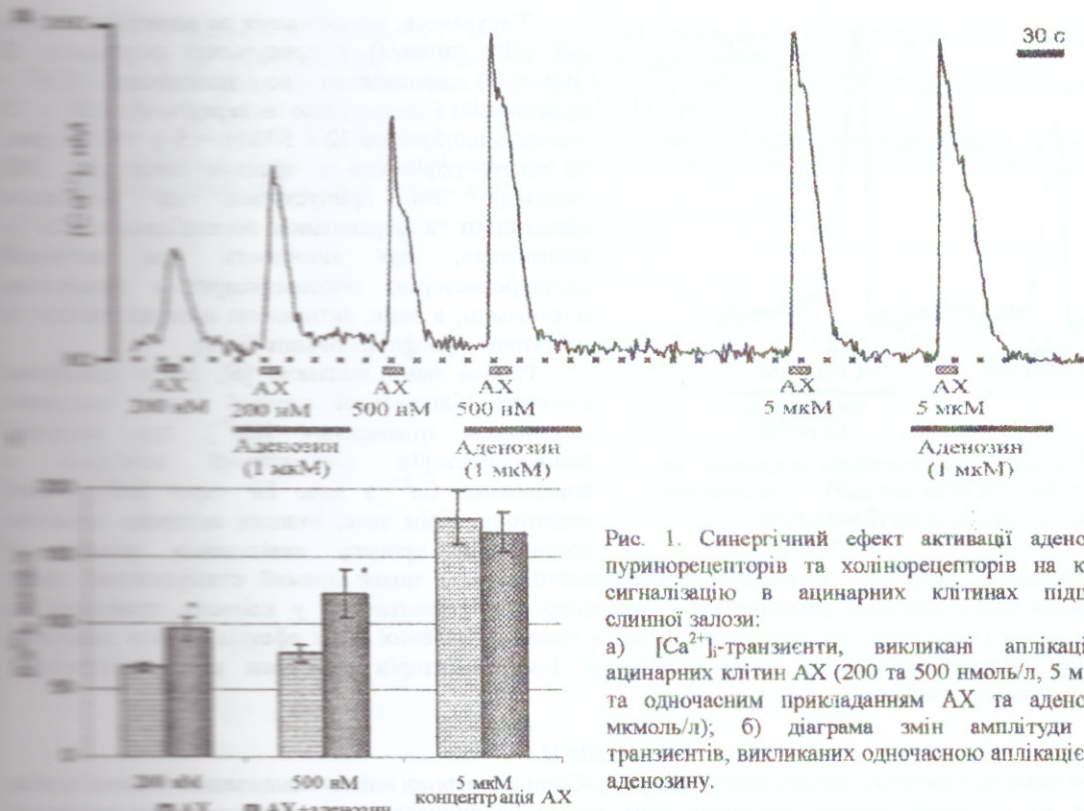


Рис. 1. Синергічний ефект активації аденоzinових пуринорецепторів та холінорецепторів на кальцієву сигналізацію в ацинарних клітинах підщелепової слинної залози:

а) $[Ca^{2+}]_i$ -транзистенти, викликані аплікацією до ацинарних клітин АХ (200 та 500 нмоль/л, 5 мкмоль/л) та одночасним прикладанням АХ та аденоzinу (1 мкмоль/л); б) діаграма змін амплітуди $[Ca^{2+}]_i$ -транзистентів, викликаних одночасною аплікацією АХ та аденоzinу.

Для більш детального вивчення виявленого нами ефекту аденоzinу на $[Ca^{2+}]_i$ -відповідь, викликану за допомогою пуринових рецепторів, ми використали карбахолін, який є більш селективним агоністом холінорецепторів, ніж АХ. Нами встановлено, що, як у випадку з АХ, аденоzin

характеризується здатністю потенціювати $[Ca^{2+}]_i$ -відповідь, викликану активацією мускаринових холінорецепторів карбахоліном. Зокрема, аплікація до ацинарних клітин карбахоліну (5 мкмоль/л) призводила до генерації $[Ca^{2+}]_i$ -транзистентів з амплітудою в середньому 94 ± 16 нмоль/л ($n = 7$, $p < 0,001$), а карбахоліну у присутності аденоzinу (1 мкмоль/л) – до 119 ± 15 нмоль/л, що було на $26 \pm 6\%$ ($n = 7$, $p < 0,001$) вище, порівняно з ефектом лише карбахоліну (рис. 2).

Таким чином, нами виявлено, що в ацинарних клітинах аденоzin потенціює $[Ca^{2+}]_i$ -відповідь, викликану активацією мускаринових холінорецепторів за допомогою АХ та карбахоліну. Цікавим є той факт, що стимулюючий ефект аденоzinу проводиться лише при дії холіноміметиків у концентраціях нижчих, ніж субмаксимальна. Враховуючи, що аденоzin не викликає достовірних змін $[Ca^{2+}]_i$ в ацинарних клітинах, потенціювання ним $[Ca^{2+}]_i$ -транзистентів, індукованих активацією холінорецепторів, зумовлене модуляцією однієї з ланок фосфоліпаза С – InsP₃-сигнального шляху.

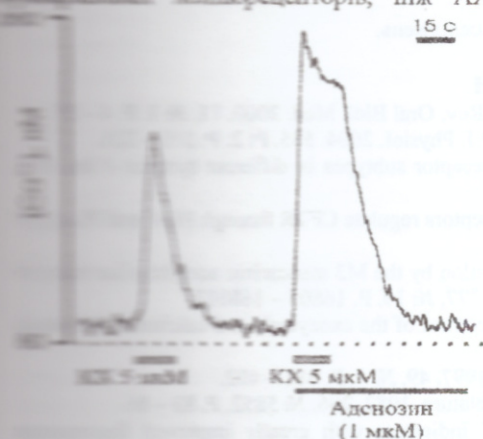


Рис. 2. $[Ca^{2+}]_i$ -транзистенти, викликані до ацинарних клітин 5 мкмоль/л АCh та одночасної дії КХ і аденоzinу (1 мкмоль/л).

Показано, що відбувається, активація Р1 рецепторів спряжена з активацією аденилатциклази і, як результат, знижує рівень циклічної АМФ. Для перевірки того, що викликане аденоzinом потенціювання АХ-викликаних $[Ca^{2+}]_i$ -транзистентів опосередковується активацією аденилатциклазного сигнального шляху, ми використали феркандин, який активує аденилатциклазу, незалежно від активації Р1 рецепторів.

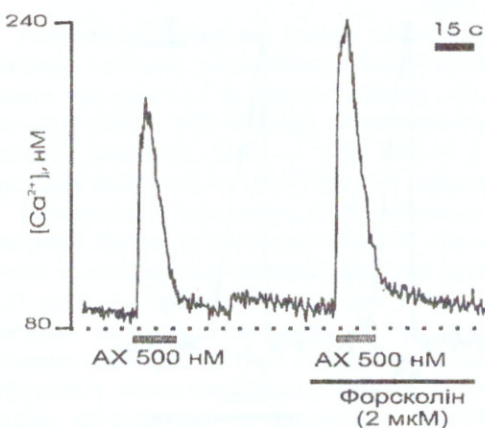


Рис. 3. $[Ca^{2+}]_i$ -транзиенти, викликані аплікацією до ацинарних клітин АХ (500 нмоль/л) та одночасним прикладанням АХ і форсколіну (2 мкмоль/л).

внутрішньоклітинного депо при активації аденилатциклази фосфорилювання $InsP_3$ -чутливих рецепторів на генерацію $[Ca^{2+}]_i$ -транзиентів у клітинах привушної та підшлункової залоз [17]. Отже, ми припускаємо, що в основі виявленіми нами ефектів лежить аденоzin-опосередковане посилення процесу фосфорилювання $InsP_3$ -рецепторів мембрани ендоплазматичного ретикулуму ацинарних клітин.

ВИСНОВКИ

Одержані нами результати свідчать про те, що у мембрани ацинарних клітин підщелепної слинної залоз функціонують Р1 пуринорецептори, активація яких прямо не впливає на перебіг внутрішньоклітинної кальцієвої сигналізації, проте призводить до модуляції фосфоліпаза С – $InsP_3$ сигнального шляху, опосередкованого активацією холінорецепторів. Останнє, на нашу думку, може бути викликане фосфорилюванням $InsP_3$ -рецепторів мембрани ЕР цАМФ-залежними протеїнкіназами.

Робота виконана за підтримки Західно-Українського фонду біомедичних досліджень.

СПИСОК ЛІТЕРАТУРИ

1. Ambudkar I.S. Regulation of calcium in salivary gland secretion // Crit. Rev. Oral Biol. Med. 2000. 11, № 1. P. 4 – 25.
2. Buchheimer R.E., Linden J. Purinergic regulation of epithelial transport // J. Physiol. 2004. 555, Pt 2. P. 311 – 321.
3. Burnstock G., Knight G.E. Cellular distribution and functions of P2 receptor subtypes in different systems // Int. Rev. Cytol. 2004. 240. P. 31 – 304.
4. Cobb B.R., Ruiz F., King C.M., Fortenberry J. Et al. A(2) adenosine receptors regulate CFTR through PKA and PLA(2) // Am. J. Physiol. Lung Cell Mol. Physiol. 2002. 282, № 1. P. 12 – 25.
5. Evellin S., Nolte J., Tysack K. et al. Stimulation of phospholipase C-epsilon by the M3 muscarinic acetylcholine receptor mediated by cyclic AMP and the GTPase Rap2B // J. Biol. Chem. 2002. 277, № 19. P. 16805 – 168013.
6. Fedirko N., Vats Ju., Klevets M., Kruglikov I., Voitenko. N. Neuronal control of the exocytosis and calcium homeostasis // Neurophysiology. 2002. P. 144 – 147.
7. Feoktistov I., Biaggioni I. Adenosine A2B receptors // Pharmacol. Rev. 1997. 49, № 4. P. 381 – 402.
8. Gallacher D.V. Are there purinergic receptors on parotid acinar cells? // Nature. 1982. 296, № 5852. P. 83 – 86.
9. Grynkiewicz G., Poenie M., Tsien R.Y. A new generation of Ca^{2+} indicators with greatly improved fluorescence properties // J. Biol. Chem. 1985. 260, № 6. P. 3440 – 3450.
10. Linden J., Thai T., Figler H., Jin X., Robeva A.S. Characterization of human A(2B) adenosine receptors: radioligand binding, western blotting, and coupling to G(q) in human embryonic kidney 293 cells and HMC-1 mast cells // Mol. Pharmacol. 1999. 56, № 4. P. 705 – 713.
11. Ralevic V., Burnstock G. Receptors for purines and pyrimidines // Pharmacol. Rev. 1998. 50, № 3. P. 413-492.
12. Reshkin S.J., Guerra L., Bagorda A. et al. Activation of A(3) adenosine receptor induces calcium entry and chloride secretion in A(6) cells // J. Membr. Biol. 2000. 178, № 2. P. 103-113.
13. Sitaraman S.V., Wang L., Wong M. et al. The adenosine 2b receptor is recruited to the plasma membrane and associates with E3KARP and Ezrin upon agonist stimulation // J. Biol. Chem. 2002. 277, № 36. P. 33188 – 33195.
14. Turner J.T., Landon L.A., Gibbons S.J., Talamo B.R. Salivary gland P2 nucleotide receptors // Crit. Rev. Oral. Biol. Med. 1999. 10, № 2. P. 210 – 224.

З'ясувалось, що аплікація до ацинарних клітин АХ (500 нмоль/л) у присутності форсколіну (2 мкмоль/л) призводила до виникнення $[Ca^{2+}]_i$ -транзиентів з амплітудою в середньому 158 ± 12 нмоль/л, що було на $32 \pm 5\%$ ($n = 5$, $p < 0,001$, рис. 3) вище, порівняно з ефектом лише АХ (500 нмоль/л). Ми припускаємо, що викликають при активації холінорецепторів, опосередковується однаковим механізмом, а саме, активацією аденилатциклази та наступного фосфорилювання білків.

Раніше нами показано [6], що в ацинарних клітинах підщелепної слинної залоз основним механізмом підвищення $[Ca^{2+}]_i$ при активації холінорецепторів плазматичної мембрани є вивільнення Ca^{2+} з депо ЕР через $InsP_3$ -чутливі рецептори. Крім того, іншими авторами виявлено потенціацію процесу вивільнення кальцію із [16], а також прямий стимулюючий ефект фосфорилювання $InsP_3$ -чутливих рецепторів на генерацію $[Ca^{2+}]_i$ -транзиентів у клітинах привушної та підшлункової залоз [17]. Отже, ми припускаємо, що в основі виявленіми нами ефектів лежить аденоzin-опосередковане посилення процесу фосфорилювання $InsP_3$ -рецепторів мембрани ендоплазматичного ретикулуму ацинарних клітин.

Медіаторний вплив аденоzinових Р1 пуринорецепторів на кальцієву сигналізацію ...

25. Van L.A., Fedirko N.V., Klevets M.Y. et al. Role of SH Groups in the Functioning of Ca^{2+} -Transporting ATPases Regulating Ca^{2+} Homeostasis and Exocytosis // Neurophysiology. 2002. 34, № 1. P. 5 – 12.
26. Zhang G.H., Martinez J.R., Effects of forksolin, dibutyryl cAMP and H89 on Ca^{2+} mobilization in submandibular salivary cells of newborn rats // Arch Oral Biol. 1999. 44, № 9. P. 735 – 744.
27. Wagner J.E., Li W.H., Yule D.I. Phosphorylation of type-1 inositol 1,4,5-trisphosphate receptors by cyclic nucleotide-dependent protein kinases: a mutational analysis of the functionally important sites in the S²⁺ and S2- splice variants // J. Biol. Chem. 2003. 278, № 46. P. 45811 – 45817.